

1. Treść zadania

1.1. Zadanie pierwsze

Przedstaw każde z poniższych równan różniczkowych zwyczajnych jako równoważny układ równań pierwszego rzędu (ang. first-order system of ODEs):

(a) równanie Van der Pol'a:

$$y'' = y'(1 - y^2) - y$$

(b) równanie Blasiusa:

$$y''' = -yy''$$

(c) II zasada dynamiki Newtona dla problemu dwóch ciał:

$$y_1'' = -\frac{GM y_1}{(y_1^2 + y_2^2)^{3/2}}$$
$$y_2'' = -\frac{GM y_2}{(y_1^2 + y_2^2)^{3/2}}$$

1.2. Zadanie drugie

Dane jest równanie różniczkowe zwyczajne:

$$y' = -5y$$

z warunkiem początkowym $y(0) = 1$. Równanie rozwiązujemy numerycznie z krokiem $h = (0,5)$.

(a) Analityczna stabilność. Wyясnij, czy rozwiązania powyższego równania są stabilne?

(b) Numeryczna stabilność. Wyясnij, czy metoda Euler'a jest stabilna dla tego równania z użytym krokiem h ?

(c) Oblicz numerycznie wartości przybliżonego rozwiązania dla $t = 0:5$ metoda Euler'a.

(d) Wyясnij, czy niejawną metodą Euler'a jest stabilna dla tego równania z użytym krokiem h ?

(e) Oblicz numerycznie wartości przybliżonego rozwiązania dla $t = 0:5$ niejawną metodą Euler'a.

1.3. Zadanie trzecie:

Model Kermack'a-McKendrick'a przebiegu epidemii w populacji opisany jest układem równan różniczkowych:

$$S' = -\frac{\beta}{N}IS$$

$$I' = \frac{\beta}{N}IS - \gamma * I$$

$$R' = \gamma * I$$

gdzie

S reprezentuje liczbę osób zdrowych, podatnych na zainfekowanie,

I reprezentuje liczbę osób zainfekowanych i roznoszących infekcję,

R reprezentuje liczbę osób ozdrowiałych.

Liczba N to liczba osób w populacji. Parametr β reprezentuje współczynnik zakaźności (ang. transmission rate). Parametr γ reprezentuje współczynnik wyzdrowień (ang. recovery rate). Wartość $1/\gamma$ reprezentuje średni czas choroby.

Założenia modelu:

- Przyrost liczby osób zakażonych jest proporcjonalny do liczby osób zakażonych oraz do liczby osób podatnych.
- Przyrost liczby osób odpornych lub zmarłych jest wprost proporcjonalny do liczby aktualnie chorych.
- Okres inkubacji choroby jest zanedbywalnie krótki.
- Populacja jest wymieszana.

Jako wartosci poczatkowe ustal:

$$S(0) = 762; I(0) = 1; R(0) = 0.$$

Przyjmij tez $N = S(0) + I(0) + R(0) = 763$ oraz $\beta = 1$. Zakładając, że średni czas trwania grypy wynosi $1/\gamma = 7$ dni, przyjmij $\gamma = 1/7$.

Całkując od $t = 0$ do $t = 14$ z krokiem 0.2, rozwiąż powyższy układ równań:

- jawna metoda Eulera

$$y_{k+1} = y_k + h_k * f(t_k, y_k)$$

- niejawna metoda Eulera

$$y_{k+1} = y_k + h_k * f(t_{k+1}, y_{k+1})$$

- metoda Rungego-Kutty czwartego rzędu (RK4))

$$y_{k+1} = y_k + \frac{h_k}{6} * (k_1 + 2k_2 + 2k_3 + k_4),$$

gdzie,

$$k_1 = f(t_k, y_k)$$

$$k_2 = f\left(t_k + \frac{h_k}{2}, y_k + \frac{h_k k_1}{2}\right)$$

$$k_3 = f\left(t_k + \frac{h_k}{2}, y_k + \frac{h_k k_2}{2}\right)$$

$$k_4 = f(t_k + h_k, y_k + h_k k_3)$$

Wykonaj następujące wykresy:

- Dla każdej metody przedstaw na wspólnym rysunku wykresy komponentów rozwiązania (S, I, R) jako funkcje t (3 wykresy).
- Na wspólnym rysunku przedstaw wykresy funkcji $S(t) + I(t) + R(t)$ znalezione przez każdą metodę (1 wykres). Czy niezmiennik $S(t) + I(t) + R(t) = N$ jest zachowany?

Wiemy, że liczba osób zakazonych w pewnej szkole kształtowała się następująco:

Dzien, t 0 1 2 3 4 5 6 7 8 9 10 11 12 13 14

Zakazeni, I 1 3 6 25 73 222 294 258 237 191 125 69 27 11 4

Wybierz jedna z powyższych metod numerycznych i oszacuj prawdziwe wartości współczynników $\theta = [\beta, \gamma]$. W tym celu wykonaj minimalizację funkcji kosztu. Jako funkcję kosztu wykorzystaj sumę kwadratów reszt (ang. residual sum of squares):

$$L(\theta) = \sum_{i=0}^T (I_i - \hat{I}_i)^2$$

gdzie I_i oznacza prawdziwą liczbę zakażonych, a \hat{I}_i oznacza liczbę zakażonych wyznaczonych metodą numeryczną. Ponieważ nie znamy gradientu $\nabla_{\theta} L(\theta)$, do minimalizacji wykorzystaj metodę Nelder-Meada, która nie wymaga informacji o gradiencie. Powtórz obliczenia, tym razem jako funkcję kosztu wykorzystując:

$$L(\theta) = - \sum_{i=0}^T I_i * \ln \hat{I}_i + \sum_{i=0}^T \hat{I}_i$$

Ile wynosił współczynnik reprodukcji w każdym przypadku?

2. Rozwiązanie zadań

2.1. Implementacja zadania pierwszego

2.1.1. Równanie Van der Pol'a

```
def van_der_pol(t, y):  
    y1, y2 = y  
    dy1_dt = y2  
    dy2_dt = dy1_dt * (1 - y1 ** 2) - y1  
    return [dy1_dt, dy2_dt]
```

2.1.2. Warunki początkowe

```
y0_van_der_pol = [2, 0]
```

2.1.3. Czas symulacji

```
t_span = (0, 20)  
t_eval = np.linspace(0, 20, 1000)
```

2.1.4. Rozwiązanie równania

```
sol_van_der_pol = solve_ivp(van_der_pol, t_span, y0_van_der_pol, t_eval=t_eval)
```

2.1.5. Wykres Van der Pol'a

```
plt.plot(sol_van_der_pol.t, sol_van_der_pol.y[0], label='y(t)')  
plt.plot(sol_van_der_pol.t, sol_van_der_pol.y[1], label="y'(t)")  
plt.title("Równanie Van der Pol'a")  
plt.xlabel('Czas t')  
plt.ylabel('y')  
plt.legend()  
plt.show()
```

2.1.6. Równanie Blasiusa

```
def blasius(t, y):  
    y1, y2, y3 = y  
    dy1_dt = y2  
    dy2_dt = y3  
    dy3_dt = - y1 * dy2_dt  
    return [dy1_dt, dy2_dt, dy3_dt]
```

2.1.7. Warunki początkowe

```
y0_blasius = [0, 0, 0.332]
```

2.1.8. Czas symulacji

```
t_span = (0, 10)  
t_eval = np.linspace(0, 10, 1000)
```

2.1.9. Rozwiązanie równania

```
sol_blasius = solve_ivp(blasius, t_span, y0_blasius, t_eval=t_eval)
```

2.1.10. Wykres Blasiusa

```
plt.plot(sol_blasius.t, sol_blasius.y[0], label='y(t)')
plt.plot(sol_blasius.t, sol_blasius.y[1], label="y'(t)")
plt.plot(sol_blasius.t, sol_blasius.y[2], label="y''(t)")
plt.title("Równanie Blasiusa")
plt.xlabel('Czas t')
plt.ylabel('y')
plt.legend()
plt.show()
```

2.1.11. II zasada dynamiki Newtona dla problemu dwóch ciał

```
def two_body_problem(t, y, G, M):
    y1, y2, y3, y4 = y
    r = (y1 ** 2 + y2 ** 2) ** (3/2)
    dy1_dt = y3
    dy2_dt = y4
    dy3_dt = -G * M * y1 / r
    dy4_dt = -G * M * y2 / r
    return [dy1_dt, dy2_dt, dy3_dt, dy4_dt]
```

2.1.12. Stałe

```
G = 6.67430e-11 # Stała grawitacyjna
M = 5.972e24    # Masa Ziemi (kg)
```

2.1.13. Warunki początkowe

```
y0_two_body = [7.0e6, 0.0, 0.0, 7.12e3]
```

2.1.14. Czas symulacji

```
t_span = (0, 6000)
t_eval = np.linspace(0, 6000, 1000)
```

2.1.15. Rozwiązanie równania

```
sol_two_body = solve_ivp(two_body_problem, t_span, y0_two_body, t_eval=t_eval, args=(G, M))
```

2.1.16. Wykres II zasady dynamiki Newtona dla problemu dwóch ciał

```
plt.plot(sol_two_body.y[0], sol_two_body.y[1])
plt.title("II zasada dynamiki Newtona dla problemu dwóch ciał")
plt.xlabel('y1')
plt.ylabel('y2')
plt.axis('equal')
plt.show()
```

2.2. Implementacja zadania drugiego

2.2.1. Analityczna stabilność – wyjaśnienie, dlaczego rozwiązanie równania w zadaniu drugim jest stabilne

Rozwiązanie analityczne równania różniczkowego można znaleźć, rozwiązując je jako równanie różniczkowe pierwszego rzędu.

Dla równania:

$$y' = -5y$$

Rozwiązaniem jest:

$$y(t) = y(0) * e^{-5t}$$

Z warunku początkowego $y(0) = 1$

$$y(t) = e^{-5t}$$

Analityczna stabilność oznacza, że jeśli zaburzymy początkowy warunek $y(0)$ to rozwiązanie nie powinno zmieniać się gwałtownie. Ponieważ wykładnicza funkcja e^{-5t} zawsze zmierza do zera, rozwiązanie jest stabilne dla każdej wartości t . Rozwiązania są stabilne, ponieważ dla $t \rightarrow \infty, y(t) \rightarrow 0$

2.2.2. Numeryczna stabilność – wyjaśnienie, dlaczego metoda jawna Euler’a nie jest stabilna

Stabilność numeryczna oznacza, że metoda numeryczna nie generuje rosnących błędów przy obliczeniach. Dla metody Eulera zastosowanej do równania $y' = -5y$ z krokiem $h = 0.5$

Metoda Eulera:

$$y_{n+1} = y_n + h * f(t_n, y_n)$$

Podstawiając $f(t, y) = -5y$

$$y_{n+1} = y_n + h(-5y_n) = y_n * (1 - 5h)$$

Dla stabilności, wartość $|1 - 5h|$ musi być mniejsza niż 1:

$$|1 - 5 * 0.5| = |1 - 2.5| = |-1.5| = 1.5$$

Ponieważ $1.5 > 1$, metoda Eulera nie jest stabilna dla tego równania przy kroku $h = 0.5$

2.2.3. Obliczenie numerycznej stabilności dla metody jawnej Euler’a

2.2.3.1. Metoda Eulera

```
def euler_step(y, t, h, f):  
    return y + h * f(t, y)
```

```
def f(t, y):  
    return -5 * y
```

2.2.3.2. Warunki początkowe

```
y0 = 1
t0 = 0
h = 0.5
```

2.2.3.3. Obliczenie wartości przybliżonej dla $t = 0.5$

```
y_approx_euler = euler_step(y0, t0, h, f)
print(f"Metoda Eulera: y(0.5) = {y_approx_euler}")
```

Metoda Eulera: $y(0.5) = -1.5$

2.2.4. Numeryczna stabilność – wyjaśnienie, dlaczego metoda niejawna Eulera' jest stabilna

Niejawna metoda Eulera:

$$y_{n+1} = y_n + h * f(t_{n+1}, y_{n+1}).$$

Podstawiając $f(t, y) = -5y$

$$y_{n+1} = y_n + h(-5y_{n+1})$$

$$y_{n+1}(1 + 5h) = y_n$$

$$y_{n+1} = \frac{y_n}{1 + 5h}$$

Dla stabilności, wartość $|\frac{1}{1+5h}|$ musi być mniejsze niż 1:

$$|\frac{1}{1 + 5 * 0.5}| = 0.286$$

Ponieważ $0.286 < 1$, niejawna metoda Eulera jest stabilna dla tego równania przy kroku $h = 0.5$

2.2.5. Obliczenie numerycznej stabilności dla metody niejawnej Euler'a

2.2.5.1. Niejawna metoda Eulera

```
def implicit_euler_step(y, t, h, f):
    return y / (1 + 5 * h)
```

2.2.5.2. Warunki początkowe

```
y0 = 1
t0 = 0
h = 0.5
```

2.2.5.3. Obliczenie wartości przybliżonej dla $t = 0.5$

```
y_approx_implicit_euler = implicit_euler_step(y0, t0, h, f)
print(f"Niejawna metoda Eulera: y(0.5) = {y_approx_implicit_euler}")
```

Niejawna metoda Eulera: $y(0.5) = 0.285$

2.2.6. Wnioski do zadania drugiego:

Wykazaliśmy matematycznie, że metoda jawna Eulera jest nie stabilna, a metoda niejawna jest stabilna. Dzięki obliczeniom można łatwo zauważyć rozbieżność wyników co potwierdza wcześniejsze obliczenia.

2.3. Implementacja zadania trzeciego

2.3.1. Parametry modelu

```
beta = 1.0  
gamma = 1.0 / 7.0
```

2.3.2. Warunki początkowe

```
S0 = 762  
I0 = 1  
R0 = 0  
N = S0 + I0 + R0
```

2.3.3. Czas

```
t_span = (0, 14)  
t_eval = np.arange(0, 14.2, 0.2)
```

2.3.4. Funkcja opisująca model SIR

```
def sir_model(t, y, beta, gamma):  
    S, I, R = y  
    dSdt = np.array(-beta / N * I * S)  
    dIdt = np.array(beta / N * I * S - gamma * I)  
    dRdt = np.array(gamma * I)  
    return np.array([dSdt, dIdt, dRdt])
```

2.3.5. Metoda jawna Eulera

```
def euler_method(f, t_span, y0, h, beta, gamma):  
    t0, tf = t_span  
    t = np.arange(t0, tf + h, h)  
    n = len(t)  
    y = np.zeros((n, len(y0)))  
    y[0] = y0  
  
    for i in range(n - 1):  
        y[i + 1] = y[i] + h * np.array(f(t[i], y[i], beta, gamma))  
  
    return t, y
```

2.3.6. Metoda niejawna Eulera

```
def implicit_euler_method(f, t_span, y0, h, beta, gamma):
    t0, tf = t_span
    t = np.arange(t0, tf + h, h)
    n = len(t)
    y = np.zeros((n, len(y0)))
    y[0] = y0

    for i in range(n - 1):
        y_pred = y[i] + h * np.array(f(t[i], y[i], beta, gamma))
        y[i + 1] = y[i] + h * np.array(f(t[i + 1], y_pred, beta, gamma))

    return t, y
```

2.3.7. Metoda Rungego-Kutty czwartego rzędu

```
def rk4_method(f, t_span, y0, h, beta, gamma):
    t0, tf = t_span
    t = np.arange(t0, tf + h, h)
    n = len(t)
    y = np.zeros((n, len(y0)))
    y[0] = y0

    for i in range(n - 1):
        k1 = np.array(f(t[i], y[i], beta, gamma))
        k2 = np.array(f(t[i] + h/2, y[i] + h*k1/2, beta, gamma))
        k3 = np.array(f(t[i] + h/2, y[i] + h*k2/2, beta, gamma))
        k4 = np.array(f(t[i] + h, y[i] + h*k3, beta, gamma))
        y[i + 1] = y[i] + (h / 6) * (k1 + 2*k2 + 2*k3 + k4)

    return t, y
```

2.3.8. Początkowe wartości

```
y0 = [S0, I0, R0]
```

2.3.9. Rozwiązanie układu metodą jawną Eulera

```
t_euler, y_euler = euler_method(sir_model, t_span, y0, 0.2, beta, gamma)
```

2.3.10. Rozwiązanie układu metodą niejawną Eulera

```
t_implicit_euler, y_implicit_euler = implicit_euler_method(sir_model, t_span, y0, 0.2, beta, gamma)
```

2.3.11. Rozwiązanie układu metodą Rungego-Kutty czwartego rzędu

```
t_rk4, y_rk4 = rk4_method(sir_model, t_span, y0, 0.2, beta, gamma)
```

2.3.12. Wykresy komponentów rozwiązania (S,I,R) dla każdej metody

```
plt.title("Wykres komponentu S dla każdej metody")
plt.plot(t_euler, y_euler[:, 0], 'b', label='S(t) - Euler')
plt.plot(t_implicit_euler, y_implicit_euler[:, 0], 'g', label='S(t) - Implicit Euler')
plt.plot(t_rk4, y_rk4[:, 0], 'r', label='S(t) - RK4')
plt.xlabel('t')
plt.ylabel('S(t)')
plt.yscale('log')
plt.legend()
plt.show()
```

```
plt.title("Wykres komponentu I dla każdej metody")
plt.plot(t_euler, y_euler[:, 1], 'b', label='I(t) - Euler')
plt.plot(t_implicit_euler, y_implicit_euler[:, 1], 'g', label='I(t) - Implicit Euler')
plt.plot(t_rk4, y_rk4[:, 1], 'r', label='I(t) - RK4')
plt.xlabel('t')
plt.ylabel('I(t)')
plt.yscale('log')
plt.legend()
plt.show()
```

```
plt.title("Wykres komponentu R dla każdej metody")
plt.plot(t_euler, y_euler[:, 2], 'b', label='R(t) - Euler')
plt.plot(t_implicit_euler, y_implicit_euler[:, 2], 'g', label='R(t) - Implicit Euler')
plt.plot(t_rk4, y_rk4[:, 2], 'r', label='R(t) - RK4')
plt.xlabel('t')
plt.ylabel('R(t)')
plt.yscale('log')
plt.legend()
plt.show()
```

2.3.13. Wykresy $S(t) + I(t) + R(t)$ dla każdej metody

```
plt.figure(figsize=(10, 6))
plt.plot(t_euler, y_euler[:, 0] + y_euler[:, 1] + y_euler[:, 2], 'b', label='Euler')
plt.plot(t_implicit_euler, y_implicit_euler[:, 0] + y_implicit_euler[:, 1] + y_implicit_euler[:, 2], 'g',
        label='Implicit Euler')
plt.plot(t_rk4, y_rk4[:, 0] + y_rk4[:, 1] + y_rk4[:, 2], 'r', label='RK4')
plt.xlabel('t')
plt.ylabel('S(t) + I(t) + R(t)')
plt.legend()
plt.title('S(t) + I(t) + R(t) dla każdej metody')
plt.show()
```

2.3.14. Prawdziwe dane zakażonych

```
true_infected = np.array([1, 3, 6, 25, 73, 222, 294, 258, 237, 191, 125, 69, 27, 11, 4])
days = np.arange(15)
```

2.3.15. Funkcja kosztu – suma kwadratów reszt

```
def cost_function(params, t, true_infected):
    beta, gamma = params
    t_span = (0, 14)
    h = 1
    t_rk4, y_rk4 = rk4_method(sir_model, t_span, y0, h, beta, gamma)
    I_pred = y_rk4[:, 1]
    solution = np.sum((np.array(true_infected) - I_pred) ** 2)
    return solution
```

2.3.16. Funkcja kosztu – log-likelihood

```
def log_likelihood_function(params, t, true_infected):
    beta, gamma = params
    y0 = [S0, I0, R0]
    t_span = (0, 14)
    h = 1
    t_rk4, y_rk4 = rk4_method(sir_model, t_span, y0, h, beta, gamma)
    I_pred = y_rk4[:, 1]
    solution = np.sum(-np.array(true_infected * np.log(I_pred)) + I_pred)
    return solution
```

2.3.17. Minimalizacja funkcji kosztu

```
options = {'maxiter': 200, 'maxfun': 300, 'disp': True}
initial_guess = [beta, gamma]
```

```
result = minimize(cost_function, initial_guess, args=(days, true_infected), method='Nelder-Mead',
                  options=options)
beta_est, gamma_est = result.x
R0_est = beta_est / gamma_est
print(f"Estymowane wartości - suma kwadratów reszt: beta = {beta_est}, gamma = {gamma_est}, R0 = {R0_est}")
```

Estymowane wartości –
beta = 1.6697415516194567,
gamma = 0.44564002141982473,
R0 = 3.7468393128148625

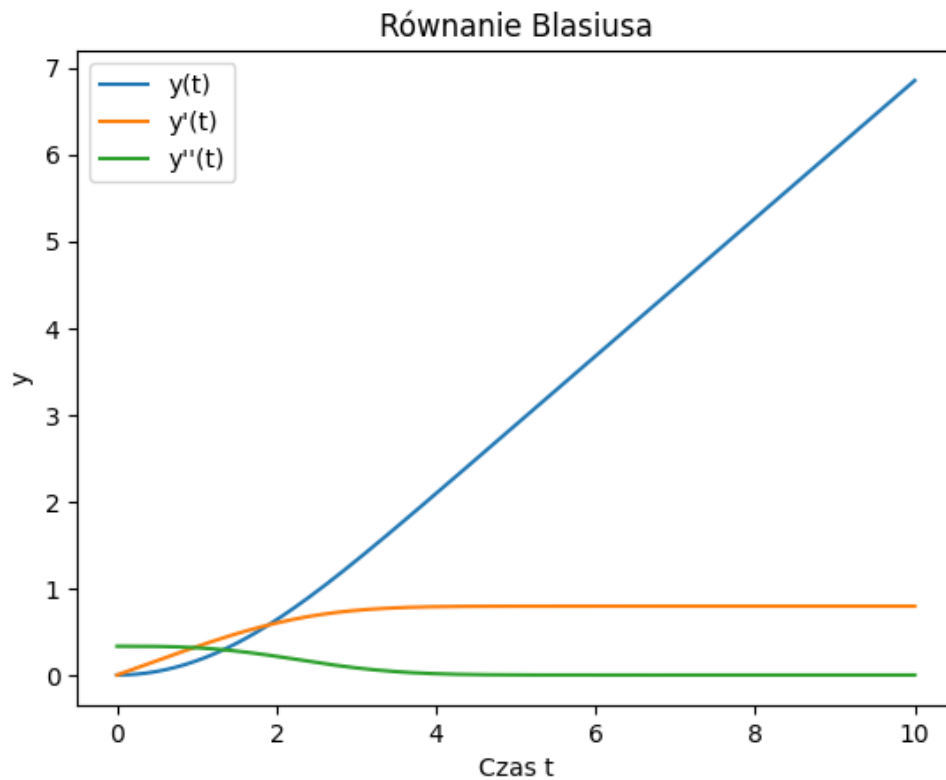
```
result_log_likelihood = minimize(log_likelihood_function, initial_guess, args=(days, true_infected),
                                 method='Nelder-Mead', options=options)
beta_est_log, gamma_est_log = result_log_likelihood.x
R0_est_log = beta_est_log / gamma_est_log
print(f"Estymowane wartości - log-likelihood: beta = {beta_est_log}, gamma = {gamma_est_log}, R0 = {R0_est_log}")
```

Estymowane wartości –
beta = 1.69255947736147,
gamma = 0.480862879543448,
R0 = 3.5198380855857687

3. Wykresy

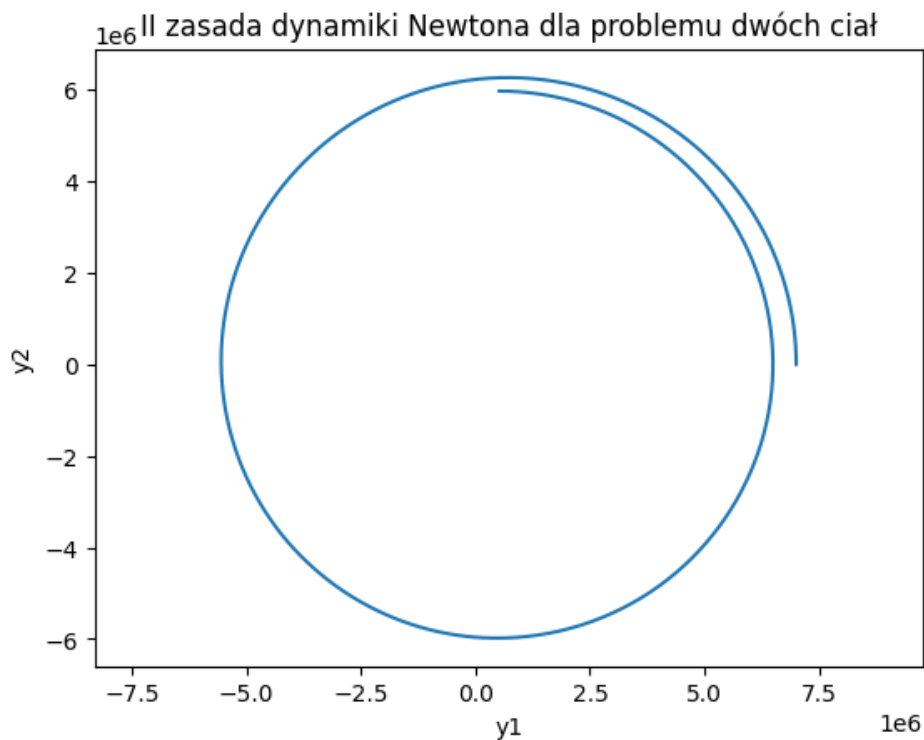
3.1. Wykresy dla zadania pierwszego

3.1.1. Wykres Blasiusa



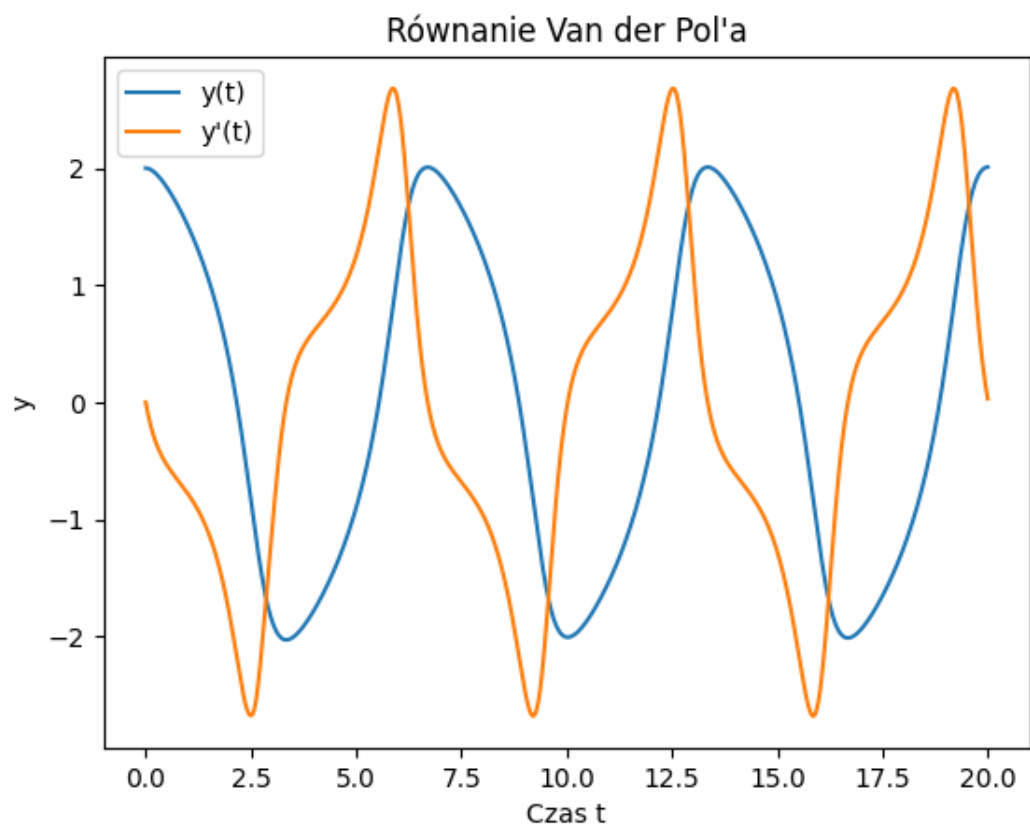
Wykres 1. Równanie Blasiusa

3.1.2. Wykres Newtona



Wykres 2. Równanie Newtona

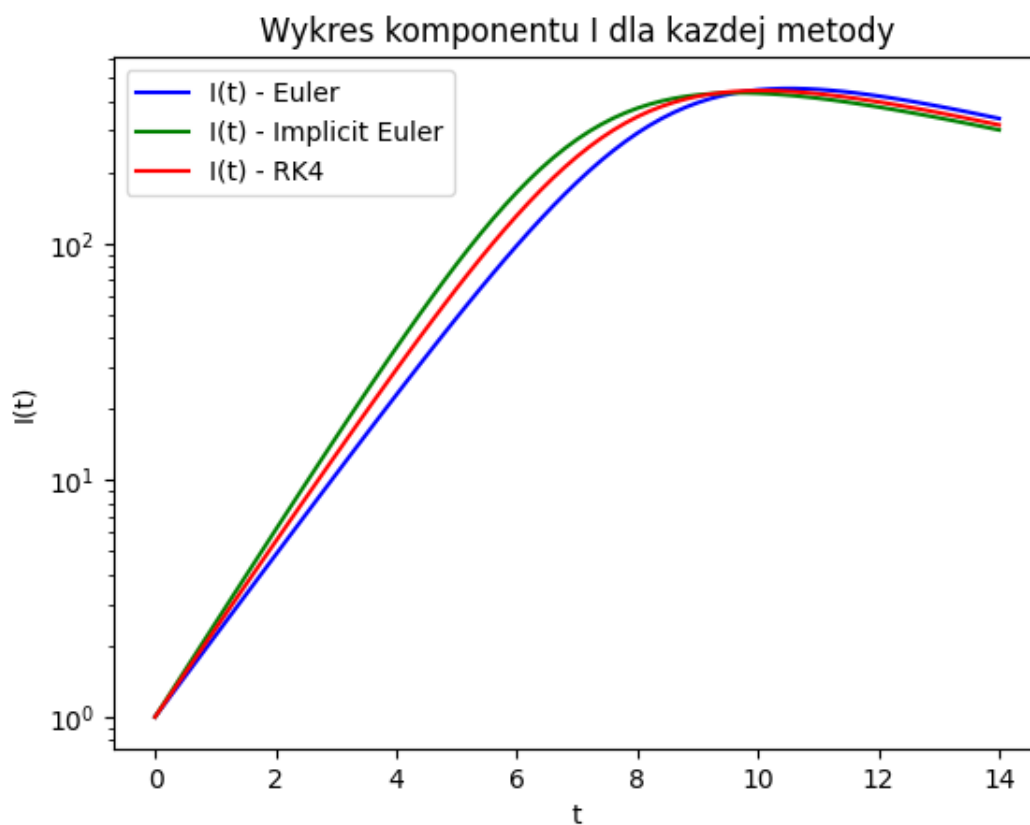
3.1.3. Wykres Van der Pole'a



Wykres 3. Równanie Van der Pol'a

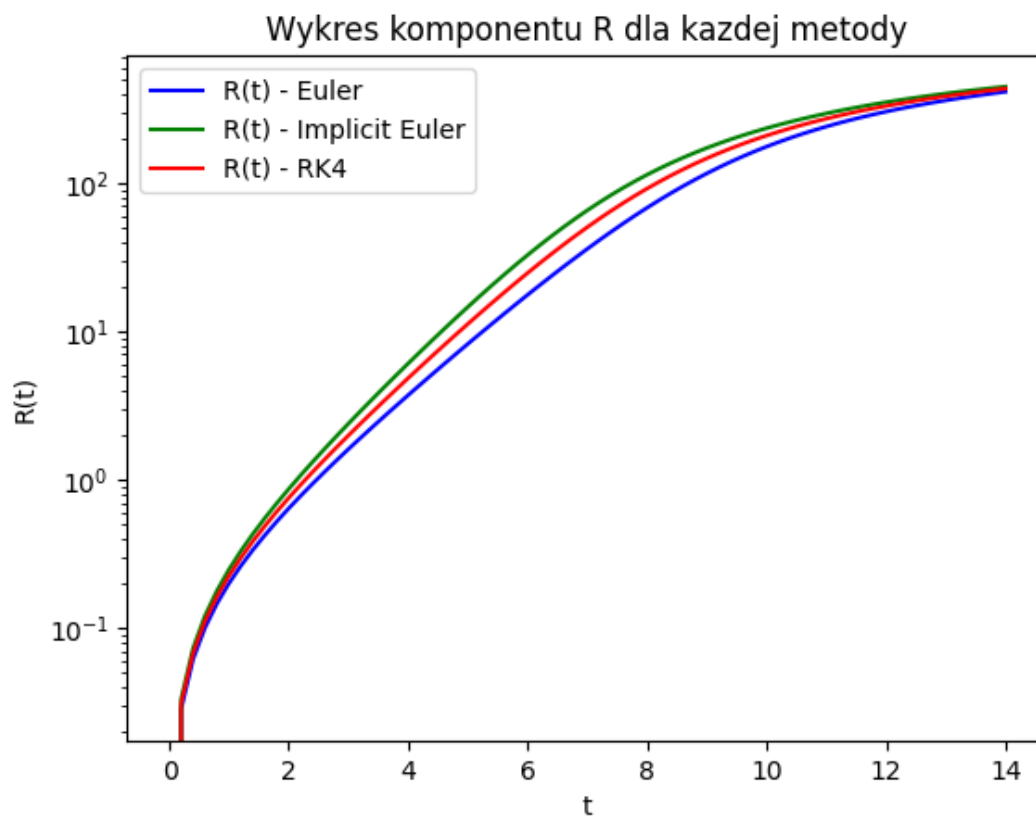
3.2. Wykresy dla zadania trzeciego

3.2.1. Wykres komponentu $I(t)$



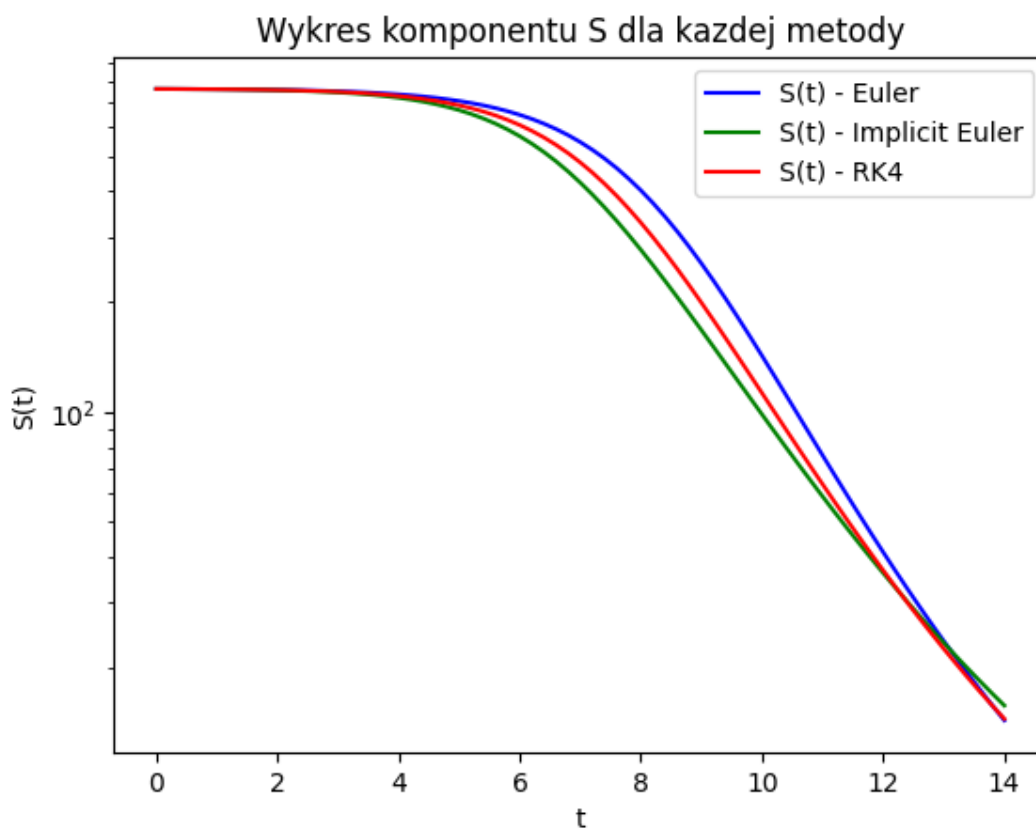
Wykres 4. Równanie komponentu I dla każdej metody

3.2.2. Wykres komponentu $R(t)$



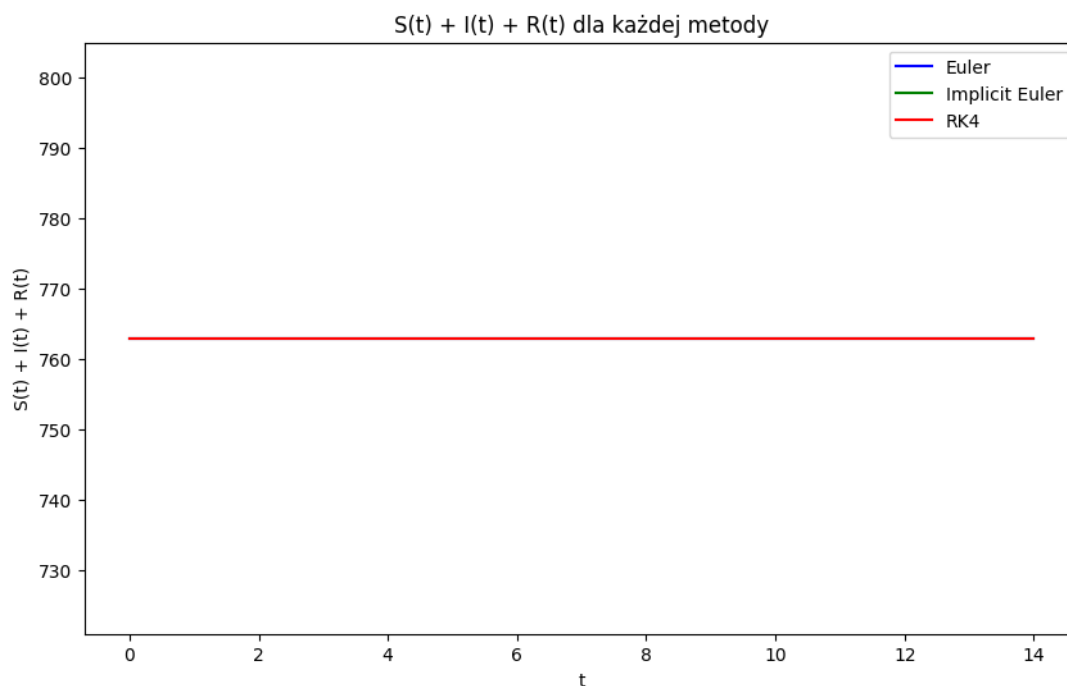
Wykres 4. Równanie komponentu R dla kazdej metody

3.2.3. Wykres komponentu $S(t)$



Wykres 4. Równanie komponentu S dla kazdej metody

3.2.4. Wykres $I(t) + R(t) + S(t)$



Wykres 5. Suma $S(t) + I(t) + R(t)$ dla każdej metody

4. Wnioski

W zadaniu drugim kiedy sprawdzaliśmy matematycznie czy faktycznie metoda jawna Eulera jest stabilna dla tego przypadku wyszło nam, że nie jest podobnie jak w przypadku niejawnej ale tam wyszło że jest stabilna ta metoda, porównując ich wartości można od razu zobaczyć że wyniki znacznie się różnią od siebie.

W zadaniu trzecim można zauważyć że niezmiennik **sumy $S(t) + I(t) + R(t)$** zostaje zachowany z wykresu nr 5.

Stosując minimalizację korzystając z funkcji kosztu $L(\theta) = -\sum_{i=0}^T I_i * \ln \hat{I}_i + \sum_{i=0}^T \hat{I}_i$, otrzymujemy mniejszy współczynnik reprodukcji wynoszący $R_0 = 3.51$, za to β , γ wynoszą mniej więcej tyle samo dla obu funkcji kosztu

5. Bibliografia

Wykład MOWNiT - prowadzony przez dr. Inż. K. Rycerz
Prezentacje – dr. Inż. M. Kuta

6. Dodatkowe informacje

Rozwiązanie wszystkich zadań znajduje się odpowiednio w plikach ex1.ipynb, ex2.ipynb, ex3.ipynb.